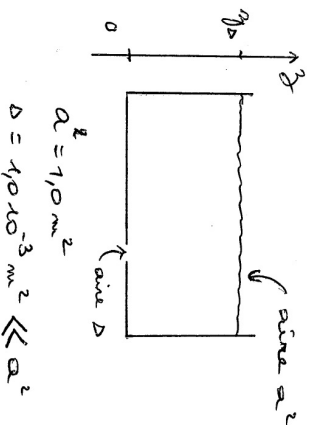


Corrigé proposé par Antoine PONCET ; pour toute remarque, erreur ou coquille : antoine.poncet@ac-clermont.fr

I - Vidange et approvisionnement en eau de mer d'un aquarium

IA | Vidange d'un aquarium

1) - La section Δ de la vidange est faite devant l'aire a^2 de la surface libre de l'eau dans l'aquarium, la vidange se fait donc "hautement" : on est en situation d'un écoulement quasi-stationnaire.



- On modélise l'écoulement comme parfait (travail des forces de viscosité sous forme négligeable), incompressible et laminaire, on peut d'itéra quasi-stationnaire \rightarrow on applique la relation de Bernoulli le long du tube de courant constitué par les fibres de l'aquarium entre la surface libre d'aire a^2 et la surface de vidange d'aire Δ :
 - on a deux surfaces la pression est p_0 , pression atmosphérique
 - la pression cinétique $\frac{1}{2} \rho v^2$ est négligeable sur la surface libre

donc on a $p_0 + \frac{1}{2} \rho v_0^2 + \rho g z_0 = p_0 + \frac{1}{2} \rho v^2 + 0$
 qui devient $\rho g z_0 = \frac{1}{2} \rho v^2 \rightarrow v = \sqrt{2g z_0}$ vitesse du fluide au niveau de la vidange, vitesse qui ne doit diminuer au fur et à mesure de la vidange, puisque z_0 diminue de $z_0 = a$ à $z_0 = 0$.

- L'écoulement est incompressible et laminaire \rightarrow la débit volumique

se conserve le long du tube de courant, on écrit donc

$N = \Delta v = N_0 a^2$ avec $N_2 = -\frac{dy_0}{dt} > 0$
 donc $N = -\frac{a^2}{\Delta} \cdot \frac{dy_0}{dt}$

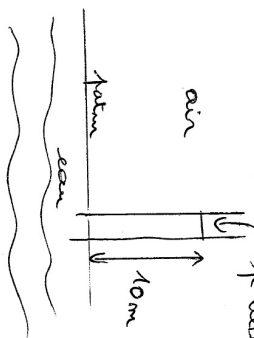
Les deux équations donnent donc l'équation différentielle vérifiée par z_0 l'altitude de la surface libre : $-\frac{a^2}{\Delta} \cdot \frac{dy_0}{dt} = \sqrt{2g z_0} \quad \forall t \geq 0$

équation différentielle non linéaire \rightarrow on sépare les variables t et z_0 :

$\frac{dz_0}{dt} = -\frac{\Delta}{a^2} \sqrt{2g} \cdot dt$ et on intègre entre $z_0 = a$ ($t = 0$) et $z_0 = 0$ ($t = \tau$) :
 $\int_a^0 \frac{dz_0}{\sqrt{z_0}} = -\frac{\Delta}{a^2} \cdot \sqrt{2g} \int_0^\tau dt \rightarrow \left[2\sqrt{z_0} \right]_a^0 = -\frac{\Delta}{a^2} \cdot \sqrt{2g} \cdot \tau$
 ce qui donne donc $\tau = \sqrt{\frac{2a}{g}} \times \frac{a^2}{\Delta}$
 l'hypothèse de l'écoulement quasi-stationnaire est validée (pas de bruit pour $\Delta z_0 = 1 \text{ m}$).

IB | Pompage de l'eau de mer

2) Il aurait été impossible de pousser la pompe en E par effet siphon car adimensionnellement d'eau car on ne peut "aspirer" de l'eau à partir d'une hauteur supérieure à 10 m par rapport à son point de captage.



En effet quand on "aspire" de l'eau, c'est l'atmosphère au niveau du point de captage qui pousse la colonne d'eau à monter. Quant la colonne atteint la hauteur $h = \frac{p_{atm}}{\rho g} \approx 10 \text{ m}$,

la pression qui s'élève dans son pied s'équilibre la pression atmosphérique

et elle ne monte plus. Pour faire monter l'eau d'un dénivelé supérieur à 10 m, il convient donc de réaliser un refoulement de la pompe, qui doit être placée à moins de 10 mètres au-dessous de la surface de captage (en négatif).

3) Les tuyaux ont une diamètre $D_a = D_n = 0,20 \text{ m}$ et le débit volumique est $Q_v = 40 \text{ m}^3 \cdot \text{s}^{-1}$. La vitesse dérivante \bar{v} dans les tuyaux est \bar{v} telle que $Q_v = \bar{v} \cdot \frac{\pi D^2}{4}$ donc la vitesse admettrae par l'équation est bien celle-ci :

$$\bar{v} = \frac{4Q_v}{\pi D^2} \cdot \frac{\text{AN}}{Q_v} = 40 \text{ m} \cdot \text{s}^{-1}$$

soit $Q_v = \frac{40}{3600} = 1,110^{-2} \text{ m}^3 \cdot \text{s}^{-1}$

$\bar{v} = 0,35 \text{ m} \cdot \text{s}^{-1}$

4) Pour l'écoulement de l'eau dans les conduites, Re est défini par $Re = \frac{\rho \cdot D \cdot \bar{v}}{\eta}$

$$\frac{\text{AN}}{\rho = 1,0 \cdot 10^3 \text{ kg} \cdot \text{m}^{-3}} \left\{ \begin{array}{l} D = 0,20 \text{ m} \\ \eta = 1,0 \cdot 10^{-3} \text{ Pa} \cdot \text{s} \end{array} \right. \Rightarrow \bar{v} = 0,35 \text{ m} \cdot \text{s}^{-1}$$

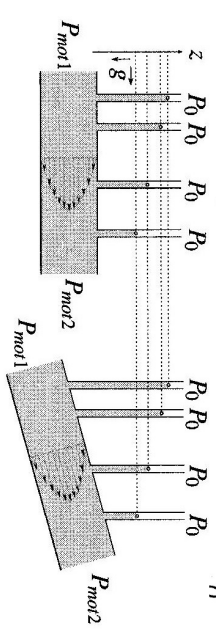
$\rightarrow Re = 7,1 \cdot 10^4$

$Re = 7,1 \cdot 10^4 > 2300$ pour l'écoulement dans les conduites, l'écoulement est donc classifié turbulent : les pertes de charge régulières sont essentiellement dues à la friction de l'eau sur les parois dans la couche limite, de faible épaisseur par rapport à D . Dans ce cas, la magnitude R des pertes est un facteur déterminant dans les pertes de charge régulières, une lecture du diagramme de Moody s'impose.

5) $R = 1,2 \text{ mm}$
 $D = 0,2 \text{ m}$ } $\varepsilon = \frac{R}{D}$ rugosité relative vaut $\varepsilon = \frac{1,2}{0,2} \cdot 10^{-3} = 6 \cdot 10^{-3}$

Sur le diagramme de Moody on voit donc la courbe correspondant à $\varepsilon = 6 \cdot 10^{-3}$ et on lit l'abscisse du point de la courbe d'abscisse $Re = 7 \cdot 10^4$: on relève $\lambda \approx 0,034$ par extrapolation entre les graduations 0,030 et 0,040 sur l'échelle log. verticale.

6) Pour observer le phénomène de pertes de charge régulières, on peut mémoriser des tubes de "pression manométrique" ($P_1 + P_2$) latérales ou une conduite de section constante (par avoir $\frac{1}{2} \rho v^2$ constant), horizontale ou inclinée. Ainsi, la perte de charge peut se traduire par une perte de pression manométrique ($P_1 + P_2$), qui se matérialise par une diminution de la hauteur de la surface libre de liquide dans les tubes latéraux tout au long de l'écoulement.



Pertes de charge dans un écoulement de Poiseuille cylindrique.

7) $\Delta P_{\text{reg},a} = \lambda \cdot \frac{l}{D} \rho v^2$ avec $v \approx \bar{v}$ vitesse dérivante.

$$\frac{\text{AN}}{L_a = 200 \text{ m}} \left\{ \begin{array}{l} \lambda = 3,4 \cdot 10^{-2} \\ D = 0,2 \text{ m} \\ v = 0,35 \text{ m} \cdot \text{s}^{-1} \end{array} \right. \Delta P_{\text{reg},a} = 2,1 \cdot 10^3 \text{ Pa}$$

D' autre part $L_a = \frac{L_a}{2}$ donc $\Delta P_{\text{reg},a} = \frac{\Delta P_{\text{reg},a}}{2} = 1,1 \cdot 10^3 \text{ Pa}$.

8) On écrit $\Delta P_{\text{avg}, a} = \alpha_a \cdot \frac{1}{2} \rho v^2$

$\Delta P_{\text{avg}, n} = \alpha_n \cdot \frac{1}{2} \rho v^2$

avec $\begin{cases} \alpha_a = 1.0 \\ \alpha_n = 2.0 \end{cases} \rightarrow \begin{cases} \Delta P_{\text{avg}, a} = 63 \text{ Pa} \\ \Delta P_{\text{avg}, n} = 125 \text{ Pa} \end{cases}$

5

9) BERNOULLI avec un seul I ...

La relation de BERNOULLI s'écrit entre deux sections ou le long d'une ligne de courant, pour un écoulement modélisé comme parfait, stationnaire, incompressible et homogène.

Ici, on applique la relation de BERNOULLI avec sa forme "généralisée" c'est-à-dire que l'écoulement n'est pas parfait, puisque on prend soin de modéliser les pertes de charge le long des conduites.

10) On écrit la relation "généralisée" sur la ligne de courant entre les points O et B ; en O le fluide est statique puisque la mer est un réservoir infini, il sera en écoulement dans la conduite seulement. On a donc

$$P_0 + \rho g z_0 + \frac{1}{2} \rho \cdot 0^2 - (P_B + \rho g z_B + \frac{1}{2} \rho v^2) = \underbrace{\Delta P_{\text{avg}, n}}_{\substack{\text{pertes de charge} \\ \text{entre O et B}}} + \underbrace{\Delta P_{\text{avg}, a}}_{\substack{\text{dans} \\ \text{le tubo}}} > P_{\text{ext B}}$$

ce qui donne $P_B - P_0 = \Delta P_a = -\Delta P_{\text{avg}, a} - \Delta P_{\text{avg}, n} - \rho g z_B + \frac{1}{2} \rho v^2$

11) De même entre C et E, on écrit la relation de BERNOULLI :

$$(P_C + \rho g z_C + \frac{1}{2} \rho v^2) - (P_E + \rho g z_E + \frac{1}{2} \rho \cdot 0^2) = \Delta P_{\text{avg}, n} + \Delta P_{\text{avg}, a}$$

ce qui donne $P_E - P_C = \Delta P_n = -\Delta P_{\text{avg}, n} - \Delta P_{\text{avg}, a} + \rho g z_C - \rho g z_E + \frac{1}{2} \rho v^2$

12) On applique toujours la relation de BERNOULLI "généralisée" entre les points B et C, avec prise en compte de l'élément actif "pompe" qui ne donne de l'énergie au fluide que sur un $P_{\text{ext C}} > P_{\text{ext B}}$. Ainsi on écrit :

$$(P_C + \rho g z_C + \frac{1}{2} \rho v^2) - (P_B + \rho g z_B + \frac{1}{2} \rho v^2) = \Delta P_{\text{ext}}$$

on multiplie $m \cdot m$ par Q_N ($m^3 \cdot s^{-1}$) pour obtenir $Q_N \cdot (P_C + \rho g z_C - (P_B + \rho g z_B)) = P_m$ puissance délivrée par la pompe

avec $z_B = z_C \rightarrow P_B = Q_N \cdot (P_C - P_B)$
 $= Q_N \cdot (P_C - P_E - (P_B - P_0))$
 puisque $P_E = P_0$

→ en utilisant les résultats des questions précédentes, il vient :

$$P_m = Q_N \cdot (\Delta P_{\text{avg}, n} + \Delta P_{\text{avg}, n} + \Delta P_{\text{avg}, a} + \Delta P_{\text{avg}, a} + \rho g z_C)$$

AN $Q_N = \frac{40}{3600} \text{ m}^3 \cdot \text{s}^{-1}$

$z_C = 25 \text{ m}$

→ $P_m = \frac{40}{3600} \cdot (2,1 \cdot 10^3 + 1,1 \cdot 10^3 + 63 + 125 + 10^3 \cdot 9,8 \cdot 25)$

est $P_m = 2,8 \text{ kW}$

La somme de puissances est trois fois plus grande que la puissance de la pompe. Les termes de pertes de charge apparaissent comme des termes correctifs.

II - Contrôle de la qualité de l'eau de l'aquarium 7

II-A Étude préliminaire de diagrammes E-rtH supposés

13) Couples redox de l'eau :



} eau complètement neutre

14) $Mn(Mn)$ dans $Mn(OH)_2(s)$: +II



$$\rightarrow n\text{S (I)} = +IV$$

15) Les espèces sont classées sur les axes de haut en bas car nS croissant et pour un nS donné, la frontière entre deux espèces est verticale, les domaines de stabilité se distribuant en fonction des propriétés acido-basiques de ces espèces.

Ainsi on obtient les domaines de stabilité :



Au nS +II $Mn(OH)_2(aq)$ se forme en milieu où H_3O^+ est présent dans son domaine de stabilité est à rtH élevés, à droite de la frontière verticale.

Idem au nS +III avec $Mn(OH)_3$.



16) Les espèces contenant l'élément Mn stables dans l'eau en présence de O_2 dissous sont celles dont le domaine de stabilité

recouvre en partie les domaines de stabilité de H_2O et O_2 .
 $\rightarrow Mn$ et $Mn(OH)_2$ ont des domaines de stabilité disjointes avec O_2 donc ne sont pas stables
 \rightarrow les autres espèces Mn^{2+} , Mn^{3+} , $Mn(OH)_3$ sont stables dans l'eau avec O_2 dissous.

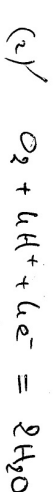
II-B) Dosage du dioxygène dissous dans l'eau par méthode de Winkler

17) Le sol donne de manganèse II se dissout dans l'eau en $2O_2^- + Mn^{2+}$. En milieu fortement basique Mn^{2+} précipite, comme le précipite le diagramme E-rtH, en $Mn(OH)_2(aq)$.

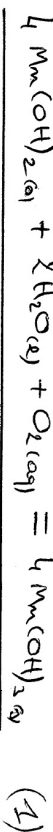
Or $Mn(OH)_2(aq)$ et $O_2(aq)$ dissous dans l'eau ont des domaines de stabilité disjointes donc nécessitent l'un ou l'autre : consommant les quantités de $Mn(III)$ formée par l'oxydation de $Mn(II)$ par O_2 , on pourra en déduire la concentration en O_2 dissous.

18) $Mn(OH)_2$ est oxydé en $Mn(OH)_3$ (milieu très basique)

par O_2 qui est lui réduit en H_2O .



4 x (1)' + (2)' m̄m pour faire apparaitre l'échange d'électrons :

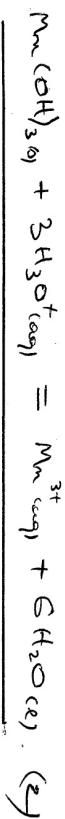
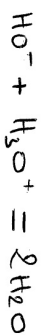


Il faut attendre 30 minutes pour une raison cinétique : la réaction n'est pas infiniment rapide.

19) On nomme la solution contenant le précipité de $Mn(OH)_3(aq)$ en milieu rtH = 1 pour nommer $Mn(III)$ sous forme Mn^{3+} .

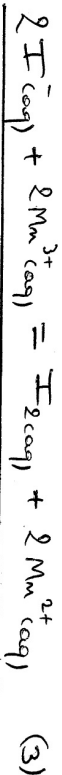
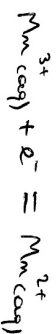
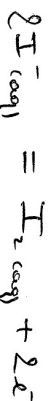


grâce à la réaction des ions hydroxyde avec les ions oxonium : 3



Après de la solution dissoute de potassium $\text{K}^+ + \text{I}^-$:

I^- et Mn^{3+} ont des demandes de stabilité disjointes donc nécessairement l'un ou l'autre, I_2 est formé (la solution à l'issue de l'étape 3 est jaune limpide), ainsi que Mn^{2+} (pH=4) :



2°) On ajoute I^- en large excès pour être sûr de faire réagir tout Mn^{3+} et ainsi de voir I_2 : connaissant la quantité de I_2 formée, on remonte à la quantité de Mn^{3+} ayant réagi.

21) Titrage à l'étape 4 :



À l'équivalence du dosage $\frac{M_{\text{S}_2\text{O}_3^{2-}} \text{nécessaire}}{2} = M_{\text{I}_2} \text{ini présent}$

avec $M_{\text{I}_2} \text{ini présent} = \frac{M_{\text{Mn}^{3+}}}{2} \rightarrow M_{\text{Mn}^{3+}} = M_{\text{S}_2\text{O}_3^{2-}} \text{nécessaire}$

donc $n_{\text{Mn}(\text{OH})_3 \text{ formé}} = n_{\text{S}_2\text{O}_3^{2-} \text{ néces}}$

et avec l'équation (4) on a donc

$$\frac{M_{\text{Mn}(\text{OH})_3}}{4} = M_{\text{O}_2} \text{ini présent}$$

$$\frac{Q}{4} \cdot M_{\text{O}_2} \text{ini présent} = \frac{M_{\text{S}_2\text{O}_3^{2-}} \text{nécessaire}}{4}$$

avec

$$\left\{ \begin{array}{l} M_{\text{O}_2} \text{ini présent} = c(\text{CO}_2) \cdot V_0 \\ M_{\text{S}_2\text{O}_3^{2-}} \text{nécessaire} = c_1 \cdot V_1 \end{array} \right. \quad \left(\begin{array}{l} \text{quantité qui était présente} \\ \text{avant réaction pour la} \\ \text{volume } V_0 \text{ de solution} \\ \text{du début de l'étape 4).} \end{array} \right. \quad 20$$

$$22) \quad \left. \begin{array}{l} V_1 = 8,3 \text{ mL} \\ V_0 = 50 \text{ mL} \\ c_1 = 5 \cdot 10^{-3} \text{ mol} \cdot \text{L}^{-1} \end{array} \right\} \rightarrow c(\text{CO}_2) = \frac{c_1 V_1}{4 V_0}$$

$$= 2,08 \cdot 10^{-4} \text{ mol} \cdot \text{L}^{-1}$$

$\left. \begin{array}{l} = 208 \text{ } \mu\text{mol} \cdot \text{kg}^{-1} \\ \text{à l'échelle} \\ \text{à l'échelle} \end{array} \right\}$

$$c(\text{CO}_2) = 208 \text{ } \mu\text{mol} \cdot \text{kg}^{-1}$$

23) Prio de la Méditerranée, la valeur est proche de l'atmosphère 285 $\mu\text{mol} \cdot \text{kg}^{-1}$, l'équilibre dont il est question ici reproduit donc les conditions de La Grande Bleue.

La carte montre que dans les zones froides, proches des pôles, la concentration en O_2 dissous est élevée, et elle diminue en allant vers les zones géographiques chaudes près de l'Équateur.

Le réchauffement climatique affecte l'eau-cœur, sur la court terme la température de surface des mers donc la concentration en O_2 dissous diminue... au risque d'atteindre des valeurs critiques proches de 30 $\mu\text{mol} \cdot \text{kg}^{-1}$ d'eau...

Rq Situation des cours de la Méditerranée à l'été 2024 :

https://www.lemonde.fr/les-decodeurs/article/2024/08/22/en-graphiques-la-mediterranee-frappee-depuis-juillet-par-une-vague-de-chaaleur-inedite_6290418_4355770.html

III - Dépendance thermique à l'échelle du poids de l'équation 14

III A) Remodellement de l'eau

24) Si on suppose que le champ de température ne dépend que de x , alors le transfert thermique conduit à lieu dans la direction \vec{x} (transfert thermique perpendiculaire des zones chaudes vers les zones froides).
Donc $\vec{j}_{th} = j_{th}(x) \vec{x}$.

25) $\frac{h\nu}{\rho\nu C_N} = D$ est le coefficient de diffusion thermique dans le nerve en $m^2 \cdot s^{-1}$ (par analyse dimensionnelle de l'équation de la DITH appelée ici).

26) on évalue T par analyse dimensionnelle de l'équation de la DITH :
 $\rho\nu C_N \cdot \frac{\partial T}{\partial t} = h\nu \cdot \frac{\partial^2 T}{\partial x^2} \rightarrow \frac{\Delta T}{T} \approx \frac{h\nu}{\rho\nu C_N} \cdot \frac{\Delta T}{e^2}$
soit $T \approx \frac{\rho\nu C_N}{h\nu} \cdot e^2$.

AN

$$\rho = 2,5 \cdot 10^3 \text{ kg m}^{-3}$$

$$C_N = 120 \text{ J K}^{-1} \text{ kg}^{-1}$$

$$h\nu = 1,1 \text{ W m}^{-1} \text{ K}^{-1}$$

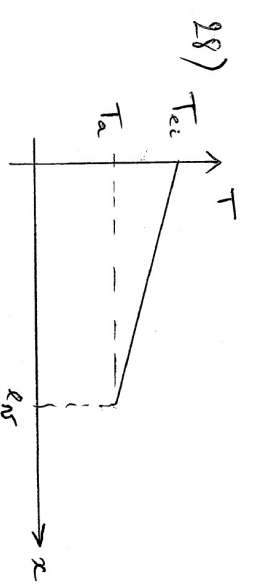
$$e_N = 1,0 \text{ cm} = 1,0 \cdot 10^{-2} \text{ m}$$

$$T = 1,6 \cdot 10^2$$

soit moins de 3 minutes (le nerve est en effet aéré par conduction thermique).

III - B) Régime stationnaire

27) En régime stationnaire $\frac{\partial T}{\partial t} = 0 \rightarrow \frac{d^2 T}{dx^2} = 0$: prof. affine de température dans la paroi de nerve; on intègre deux fois p.n.a. x et on utilise les conditions aux limites $T(0) = T_{e,i}$ et $T(e) = T_a$:
on obtient $T(x) = T_{e,i} + \frac{T_a - T_{e,i}}{e_N} \cdot x$ $\forall 0 \leq x \leq e_N$.

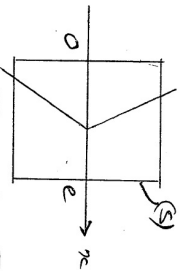


III - C) Pertes de puissance thermique

1) pertes par conduction thermique.

2) Déterminons la résistance thermique de conduction R_{cond} de la géométrie catodique supposée (plaque d'al. S , épaisseur e):
 $j_{th} = -d \cdot \frac{dT}{dx} \rightarrow dT = -j_{th} \cdot dx \cdot \frac{1}{d}$

→ on prend le flux moyen à moitié en multipliant par S :
 $dT \cdot S = -I_{th} \cdot dx \cdot \frac{1}{d}$
→ on intègre entre $x=0$ et $x=e$:
soit $T(0) - T(e) = \frac{e}{dS} \cdot I_{th}$ donc $R_{cond} = \frac{e}{dS}$.



30) Taux et résist. : les deux résistances sont successivement poursuivies par le même courant thermique donc sont en série.
On a donc $R_{cond} = \frac{e}{dS} + \frac{e_N}{k_0 S}$.

2) prise en compte de pertes convectives et de rayonnement

31) La loi de Newton est écrite $\Phi_{conv} = R_{conv} S (T(r_2) - T_a)$ avec $S = a^2$ donc $T(r_2) - T_a = \frac{1}{R_{conv} a^2} \times \Phi_{conv} \equiv R_{conv} \cdot \Phi_{conv}$, on identifie $R_{conv} = \frac{1}{R_{conv} a^2}$.

AN $\lambda_{conv} = 14 \text{ W m}^{-2} \text{ K}^{-1} \rightarrow R_{conv} = 7,140^{-2} \text{ K} \cdot \text{W}^{-1}$ 13

D'autre part la loi concernant le flux rayonné est écrite :

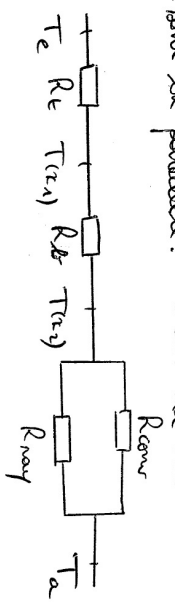
$\Phi_{ray} = \lambda_{ray} S (T(\tau_2) - T_a)$, donc de même $R_{ray} = \frac{1}{\lambda_{ray} \cdot a^2}$

AN $\epsilon = 0,50 \rightarrow \lambda_{ray} = \epsilon \sigma T_a^3 = 4,15 \text{ W m}^{-2} \text{ K}^{-1}$

$\rightarrow R_{ray} = 0,21 \text{ K} \cdot \text{W}^{-1}$

32) On a $\Phi_e = \Phi_r \equiv \Phi_{conv} + \Phi_{ray}$ car le régime est

stationnaire (\rightarrow loi des branchements, loi des mailles). Les résistances R_{conv} et R_{ray} sont branchées à la même différence de température donc sont en parallèle. Le schéma du circuit thermique est donc :



$R_{th} = R_e + R_{\epsilon} + \frac{1}{\frac{1}{R_{conv}} + \frac{1}{R_{ray}}} \rightarrow R_{th} = \frac{\epsilon T}{\lambda \tau a^2} + \frac{2a}{\lambda \sigma a^2} + \frac{1}{\lambda_{conv} + \lambda_{ray}} a^2$

AN $R_{th} = \frac{10^{-3}}{0,78} + \frac{10^{-1}}{1,1} + \frac{1}{14 + 4,15} = 1,3 \cdot 10^{-3} + 5,9 \cdot 10^{-2} + 5,3 \cdot 10^{-2}$

donc $R_{th} = 1,1 \cdot 10^{-1} \text{ K} \cdot \text{W}^{-1}$

33) $T(\tau_2)$ s'obtient par pont diviseur de température (analogie du pont diviseur de tension) par lecture du circuit thermique ci-dessus :

$T_e - T(\tau_2) = (T_e - T_a) \times \frac{R_e + R_{\epsilon}}{R_{th}}$

$\rightarrow T(\tau_2) = T_e - (T_e - T_a) \cdot \frac{R_e + R_{\epsilon}}{R_{th}}$ 14

AN $T_e = 18^\circ\text{C}$ ou 28°C ? Les deux valeurs apparaissent dans l'énoncé ... Étant donné le résultat de la partie II on choisit 28°C .

$T(\tau_2) = 28 - 16 \times \frac{1,3 \cdot 10^{-3} + 5,9 \cdot 10^{-2}}{1,1 \cdot 10^{-1}}$ soit $T(\tau_2) = 19,5^\circ\text{C}$

3) Bilan des pertes thermiques

3a) Perte en nœud 1 : en série avec R_{end} , il y a l'association parallèle de $R_{th, conv}$ et $R_{th, ray}$, ce qui donne donc $R_{th, 1}$:

$R_{th, 1} = R_{end} + \frac{1}{\frac{1}{R_{th, conv}} + \frac{1}{R_{th, ray}}}$

$\rightarrow R_{th, 1} = \frac{\epsilon V}{\lambda r a^2} + \frac{1}{\lambda_{conv} + \lambda_{ray}} a^2$

AN $\lambda_{conv} = 30 \text{ W m}^{-2} \text{ K}^{-1}$

$\lambda_{ray} = 4 \epsilon \sigma T_a^3 = 4 \cdot 0,90 \cdot 5,7 \cdot 10^{-8} \cdot 285^3 = 4,175 \text{ W m}^{-2} \text{ K}^{-1}$

$\rightarrow R_{th, 1} = 9,1 \cdot 10^{-3} + 2,5 \cdot 10^{-2}$ soit $R_{th, 1} = 3,8 \cdot 10^{-2} \text{ K} \cdot \text{W}^{-1}$

35) Puissance thermique totale produite à travers les parois de la paroi 1 :

$\Phi_{th, tot} = \sum_{i=1}^6 \Phi_{th, i} = \frac{T_e - T_a}{R_{th, 1}} + 5 \times \frac{T_e - T_a}{R_{th}}$

soit $\Phi_{th, tot} = (T_e - T_a) \left(\frac{1}{R_{th, 1}} + \frac{5}{R_{th}} \right)$

soit $\Phi_{th, tot} = 16 \cdot \left(\frac{1}{3,8 \cdot 10^{-2}} + \frac{5}{0,11} \right) = 423 + 705$ soit $\Phi_{th, tot} = 1128 \text{ W}$

AN $\Phi_{th, tot} = 16 \cdot \left(\frac{1}{3,8 \cdot 10^{-2}} + \frac{5}{0,11} \right) = 423 + 705$ soit $\Phi_{th, tot} = 1128 \text{ W}$
 Pour limiter ces pertes \rightarrow couche isolante sur les 5 parois entre réservoirs air \rightarrow double nitrage sur paroi 1.